

# Эффективный предобуславливатель для решения систем линейных уравнений, возникающих в задаче фильтрации в деформируемой поровой среде

О.С. Борщук

ООО «РН-Технологии», ФГБОУ ВО «Уфимский университет науки и технологий»

В работе исследуется эффективность совместного применения предобуславливателей типа ILU и AIPS для решения систем линейных уравнений специального вида в задачах фильтрации флюидов в пористой среде, учитывающих изменение напряженно-деформированного состояния породы. Показано, что использование адаптированного под задачу предобуславливателя до 2.8 раз ускоряет решение системы по сравнению со стандартными методами решения, используемыми в пакетах общего назначения. Приведены численные результаты распараллеливания полученного метода решения на многоядерные системы.

*Ключевые слова:* итерационные методы, предобуславливатели на основе неполного LU разложения, предобуславливатели на основе степенного разложения обратной матрицы AIPS, безматричное умножение.

## 1. Введение

В процессе решения задач фильтрации флюидов в пористой среде с учетом изменения напряженно-деформированного состояния породы возникает необходимость решения большого количества систем линейных алгебраических уравнений (СЛАУ) специального вида:

$$\begin{bmatrix} F & E \\ C & B \end{bmatrix} \begin{bmatrix} u \\ v \end{bmatrix} = \begin{bmatrix} 0 \\ b \end{bmatrix}, \quad (1)$$

где  $E$  – единичная матрица,  $F$  – заполненная матрица, связанная с уравнениями геомеханики,  $C$  и  $B$  – разреженные матрицы с одинаковым шаблоном разреженности, т.е. ненулевые элементы находятся в одних и тех же местах.  $C$  и  $B$  отвечают за уравнения гидродинамики. Блоки в системе (1) обладает следующими свойствами:

- $F$  – строится один раз и не меняется в процессе эволюционного расчета,
- $C$  и  $B$  – меняются на каждом шаге по времени и на каждой итерации нелинейного решателя, но шаблон разреженности остается постоянным,
- $f_{ij}$  элементы матрицы  $F$ , представимы в следующем виде:

$$f_{ij} = W(|i_x - j_x|, |i_y - j_y|) G(i_y, j_y) R(i_y), \quad (2)$$

где  $W, G, R$  – некоторые известные функции,  $i_x, i_y$  – координаты узла  $i$  в расчетной сетке.

Из первой строки системы (1) следует

$$v = -Fu. \quad (3)$$

Подставляя (3) во второе уравнение системы (1) получаем СЛАУ на неизвестный вектор  $u$ :

$$(C - BF)u = b. \quad (4)$$

Отметим, что практически все итерационные методы решения систем линейных уравнений базируются на операции умножения матрицы на вектор. Поэтому можно не вычислять матрицу  $C - BF$ , а последовательно вычислять: 1.  $q = Cu$ ; 2.  $w = Fu$ ; 3.  $(C - BF)u \equiv q - Bw$ . Для удобства обозначим  $A = C - BF$ .

Далее везде для построения матрицы предобуславливателя на основе неполного LU разложения будем использовать матрицу:

$$\tilde{A} = C - B\tilde{F}, \quad (5)$$

где  $\tilde{F}$  – разреженная матрица, полученная из  $F$  отбрасыванием элементов  $f_{ij}$ ,  $i \neq j$ , таких, что  $|f_{ij}| < \varepsilon|f_{ii}|$ ,  $\varepsilon \in (0, 1)$  – параметр, выбираемый из условия минимизации времени расчета.

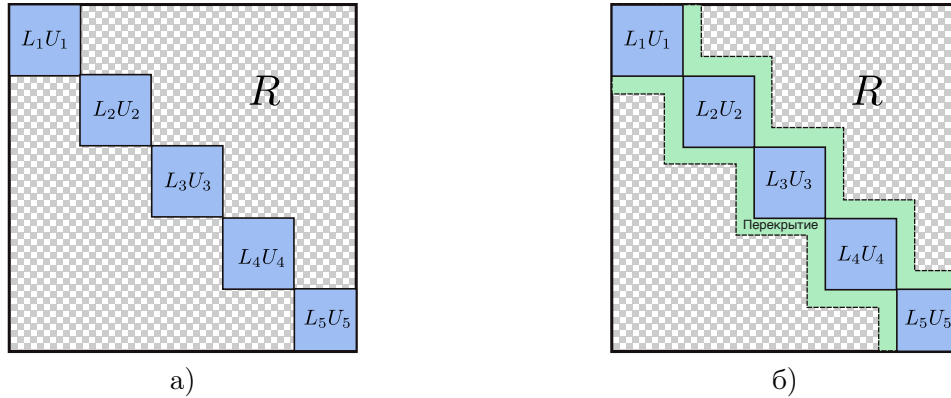
В разделе 2 описаны методы предобуславливания, наиболее часто используемые для систем общего вида, и аспекты их параллельной реализации. В разделе 3 описан метод уточнения предобуславливателя на основе степенного разложения обратной матрицы, описаны принципы совмещения предобуславливателей типа ILU и AIPS и возможные сценарии их использования. В разделе 4 описан метод безматричного умножения матрицы  $F$  на вектор, показаны пути оптимизации под современные процессоры с архитектурой x86 и ARM. В разделе 5 представлены результаты численных экспериментов и сравнение эффективности предобуславливателей, в том числе в зависимости от количества потоков при расчетах на многоядерных процессорах. Численные результаты показывают, что совместное использование предобуславливателей типа неполного LU разложения для диагональных блоков без перекрытия и степенного разложения обратной матрицы AIPS значительно улучшает сходимость итерационных линейных решателей и позволяет ускорить решение системы (1) до 2.8 раз по сравнению с наиболее часто используемыми универсальными подходами.

## 2. Предобуславливатели на основе неполного LU разложения для параллельных вычислений

В качестве одной из составных частей предобуславливателей будем использовать матрицы, основанные на неполном LU разложении:

- ILU0 (Incomplete LU factorization with zero fill) – неполное LU разложение без расширения «шаблона разреженности». Выполняется LU-разложение, но при этом отбрасываются все «порождаемые» ненулевые элементы (т.е. остаются только те ненулевые элементы, которые расположены в тех же позициях, где были ненулевые элементы исходной матрицы) [1, 2]. Самый простой и быстрый в построении предобуславливатель в классе ILU, но на сложных задачах может не обеспечивать нужной скорости сходимости либо не приводить к сходимости вообще.
- ILUT (Incomplete LU with Threshold) – факторизация строится на основе числового порога (threshold), который определяет какие ненулевые элементы можно отбросить после вычисления значений в элементах L и U [1, 3].
- BILU0/BILUT (Block ILU0/ILUT) – блочно диагональные варианты неполного LU разложения. Используются для параллельной реализации ILU0/ILUT (рис. 1а), при этом обмены между блоками отсутствуют либо минимальны, поэтому хорошо распараллеливается, но сходимость может значительно ухудшаться с ростом числа исполнительных потоков [1, 4].
- OBILU0/OBILUT (Overlaped Block ILU0/ILUT) – блочно диагональные варианты неполного LU разложения с перекрытием. Размер перекрытия выбирается из условия минимизации влияния элементов матрицы вне перекрытия на внутренние элементы

блока (рис. 16) [5]. Позволяет повысить качество предобуславливателя (меньше итераций требуется для получения решения), но чем больше зона перекрытия, тем сильнее растет сложность построения предобуславливателя.



**Рис. 1.** Примеры декомпозиции матрицы для параллельной ILU факторизации: а) в ILU разложении участвуют диагональные блоки без перекрытия; б) в ILU разложении участвуют блоки большего размера с перекрытием, все блоки раскладываются независимо, но решение берется только по внутренним частям блоков

### 3. Уточнение предобуславливателя на основе степенного разложения обратной матрицы

Для улучшения сходимости итерационных методов решения СЛАУ (1) и уточнения предобуславливателей типа ILU можно использовать разложение обратной матрицы в ряд Неймана [1, 6]:

$$(E - B)^{-1} = E + B + B^2 + \dots + B^n + \dots, \quad \rho(B) < 1, \quad (6)$$

где  $E$  – единичная матрица, а  $\rho(B)$  – спектральный радиус матрицы  $B$ .

Стандартным является представление матрицы  $A$  в виде [7]:

$$A = P + R = P(E + P^{-1}R) = P(E - (-P^{-1}R)), \quad (7)$$

где  $P$  – матрица предобуславливателя,  $R$  – матрица ошибки. При выполнении условия  $\rho(P^{-1}R) < 1$  можно получить следующую формулу обращения предобуславливателя  $M_N$  порядка  $N$ :

$$M_N^{-1} = \left[ E + \sum_{k=1}^N (-1)^k (P^{-1}R)^k \right] P^{-1}. \quad (8)$$

Вычисление  $M_N^{-1}$  тем сложнее, чем больше  $N$ , но с ростом  $N$  улучшается качество предобуславливания  $A^{-1} \approx M_N^{-1}$  и снижается количество необходимых для решения линейной системы итераций. В общем случае выбор параметра  $N$  проводится эмпирически для каждого типа решаемых задач отдельно. Предобуславливатель  $M_N$ , определяемый формулой (8), принято называть AIPS (Approximation of Inverse by Power Series).

Формула (8) удобна, когда матрица  $R$  легко определима; если же  $R$  неизвестна, то может быть заменена  $R = A - P$ . Формула (8) в этом случае примет вид:

$$\tilde{M}_N^{-1} = \left[ E + \sum_{k=1}^N Q^k \right] P^{-1}, \quad Q = E - P^{-1}A. \quad (9)$$

Если матрица предобуславливателя  $P$  построена на малой части ненулевых элементов матрицы  $A$ , например, используются три главные диагонали [7], то разница в сложности вычислений между формулами (8) и (9) не значительна, матрица  $R$  меньше матрицы  $A$  на 3 диагонали. С другой стороны, при неполном LU разложении [2] для получения матрицы  $R$  необходимо умножить матрицы  $L \cdot U$ , что трудоемко, при этом в матрице  $R$  может оказаться значительно больше ненулевых элементов, чем в матрице  $A$ ; в этом случае выгоднее использовать формулу (9). Предобуславливатель, полученный по формуле (9), будем называть AIPS2.

Отметим, что алгоритмы построения предобуславливателей AIPS и AIPS2 хорошо подходят для использования на параллельных процессорах, все вычислительные потоки работают независимо, пересылки данных между потоками минимальны.

Большим потенциалом обладает совмещение неполного LU разложения с уточнением предобуславливателя по формулам (8), (9). Построение и обращение предобуславливателей типа ILU существенно последовательны, а их реализации для параллельных вычислений алгебраически не эквивалентны последовательным алгоритмам и требуют больше итераций линейного решателя для достижения сходимости. При этом сходимость линейного решателя ухудшается с ростом количества вычислительных потоков. Определим эффективность параллельной блочной реализации предобуславливателей типа ILU с уточнением AIPS для компенсации ухудшения свойств блочных предобуславливателей типа ILU при росте числа вычислительных потоков.

#### 4. «Безматричное» умножение матрицы $F$ на вектор

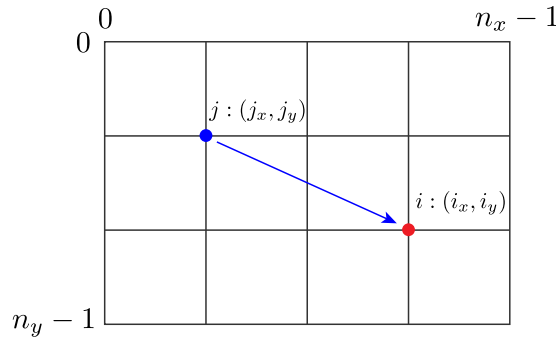
Поскольку блок-матрица  $F$  плотно заполненная, то при росте размерности сложность умножения матрицы  $F$  на вектор растет как  $O(n^2)$ , где  $n$  – размерность матрицы. Остальные блок-матрицы – разреженные с ограниченным количеством ненулевых элементов в строке, и сложность их умножения на вектор растет как  $O(n)$ . Соответственно, с ростом размерности операции с матрицей  $F$  становятся доминирующими и требуют особого внимания. В литературе и пакетах программ известны «безматричные» подходы к умножению матрицы на вектор [8, 9], в этом случае формирование матрицы как единого массива значений не происходит. Обычно это выгодно, когда матрица формируется из структурированных массивов меньшей размерности; в этом случае можно формировать матрицу «на лету» маленькими блоками. Такой подход обычно требует кратно больше арифметических операций для построения результата умножения матрицы на вектор, но значительно сокращает требования к объему оперативной памяти. Если же удастся использовать векторные инструкции, например, AVX2/AVX512 [10, 11] для процессоров x86 или NEON/SVE [12, 13] для процессоров ARM, то общая скорость операции может значительно вырасти. Так же положительно на скорости вычислений сказывается локализация данных и использование КЭШ памяти процессора.

Рассмотрим матрицу  $F$  более подробно. Согласно формуле (2) на расчетной сетке размером  $n = n_x \times n_y$  (рис. 2) для построения матрицы  $F$  надо вычислить  $W$  в  $n_x \times n_y$  точках,  $G$  – в  $n_y \times n_y$  точках, а  $R$  – в  $n_y$  точках.

Используем  $i, j, k$  в качестве индексов строк и столбцов в матрице  $F$ . Обозначим  $i_x, i_y$  – координаты в расчетной сетке по оси  $X$  и  $Y$ , соответствующие узлу  $i$ . Таким образом  $i = i_x + i_y \times n_x$ , аналогично для  $j$  и  $k$ :  $j = j_x + j_y \times n_x$ ,  $k = k_x + k_y \times n_x$ .

Введем следующие обозначения:

$$\begin{aligned} \Delta_{ij} &= (|i_x - j_x|, |i_y - j_y|) \\ W_{\Delta_{ij}} &= W(|i_x - j_x|, |i_y - j_y|), \\ G_{ij} &= G(i_y, j_y), \\ R_i &= R(i_y). \end{aligned}$$



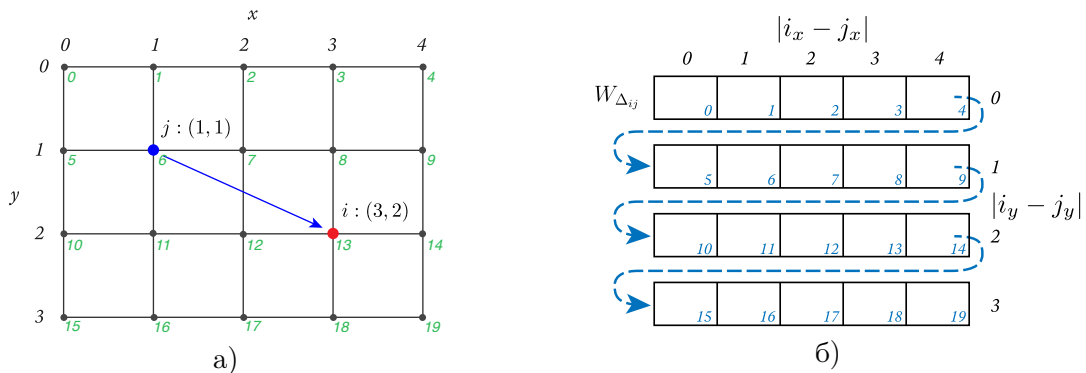
**Рис. 2.** Расчетная сетка размером  $n_x$  узлов вдоль горизонтальной оси  $X$  и  $n_y$  вдоль вертикальной оси  $Y$ . Расстояние между узлами по оси  $X$  равно  $\Delta X$ , а по оси  $Y$  –  $\Delta Y$

Внутренняя структура матрицы  $F$  по формуле (2) позволяет записать умножение  $i$ -строки матрицы на вектор в виде:

$$u_i = F_i w = \sum_{k=0}^{n-1} f_{ik} w_k = R_i \sum_{k=0}^{n-1} W_{\Delta_{ik}} G_{ik} w_k. \quad (10)$$

Использование формулы (10) позволяет сократить требования к оперативной памяти. Например, для размеров сетки  $n_x = 100$ ,  $n_y = 100$  для хранения матрицы  $F$  необходимо 800 МБайт оперативной памяти, с другой стороны при использовании формулы (10) для  $W_{\Delta_{ij}}$  необходимо 80 КБайт, для  $G_{ij}$  – 80 КБайт, а для  $R_i$  – 800 Байт, т.е. приблизительно в 5 000 раз меньше. Снижение требований к оперативной памяти позволяет разместить данные в КЭШ памяти процессора, что значительно ускоряет доступ к этим данным. При этом требуемое количество арифметических операций возрастает приблизительно в 2 раза.

Результаты сравнения скорости расчета с использованием обычного алгоритма умножения плотной матрицы на вектор и по уравнению (10) показывают, что наблюдается замедление расчета в более чем 20 раз. Это не может быть связано только с возрастанием количества арифметических операций, формула (10) требует всего в 2 раза больше арифметических операций по сравнению с обычным умножением.



**Рис. 3.** Пример расчетной сетки ( $n_x = 5$ ,  $n_y = 4$ ). Зеленым выделены индексы узлов расчетной сетки в матрице  $F$  (узел  $j = 6$ , координаты  $j_x = 1$ ,  $j_y = 1$ , узел  $i = 13$ , координаты  $i_x = 3$ ,  $i_y = 2$ ). На рисунке б представлено расположение элементов  $W_{\Delta_{ij}}$  в оперативной памяти, синим цветом выделены индексы  $l(i, j) = |i_x - j_x| + n_x \times |i_y - j_y|$  в линейном массиве

Причиной значительного замедления работы является непоследовательный доступ к данным, что приводит к большому количеству «КЭШ промахов» и затрудняет для процессора предсказание ветвлений.

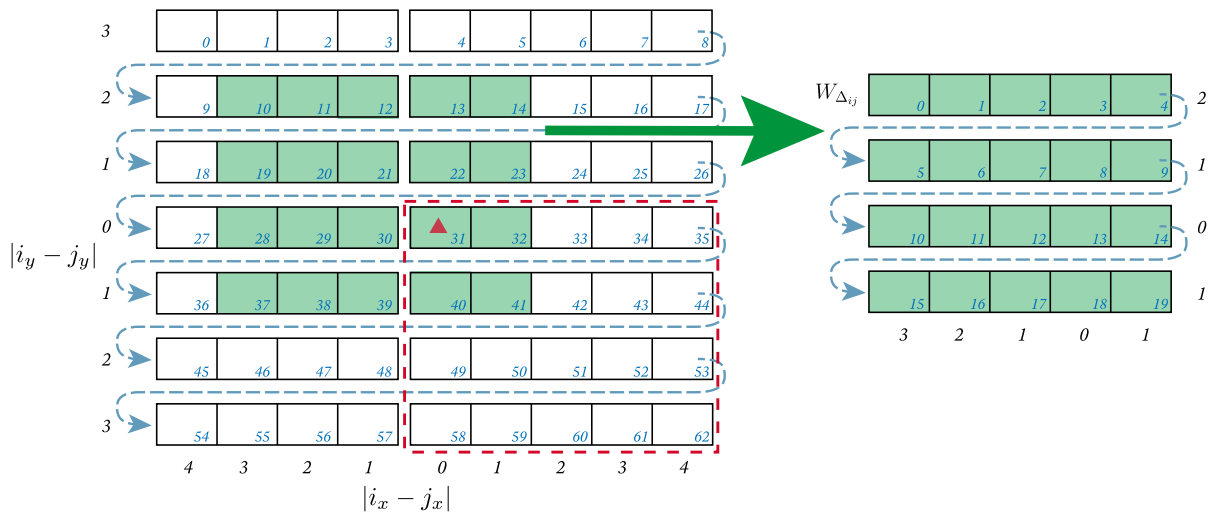
Для примера рассмотрим сетку ( $n_x = 5$ ,  $n_y = 4$ ) (рис. 3а). Размерность матрицы  $F$  –  $n = n_x \times n_y = 20$ . Для хранения  $W_{\Delta_{ij}}$  используется одномерный массив длиной  $n_x \times n_y$  с

индексированием согласно формуле  $l(i, j) = |i_x - j_x| + n_x \times |i_y - j_y|$  (рис. 3б). Рассмотрим умножение строки матрицы, соответствующей элементу сетки  $i = 13$  с координатами  $i_x = 3$ ,  $i_y = 2$  (красная точка на рис. 3а) на вектор. Согласно формуле (10) последовательность доступа к массиву  $W_{\Delta_{ik}}$  представлена в таблице 1.

**Таблица 1.** Пример изменения  $\Delta_{ik}$  и линейного индекса  $l(i, k)$  массива  $W_{\Delta_{ik}}$  при расчете  $u_{13}$  согласно формуле (10)  $i = 13$  на сетке  $n_x = 5$ ,  $n_y = 4$ . Отметим, что  $k$  пробегает все значения от 0 до  $n - 1 = 19$

$k$	0	1	2	3	4	5	6	7	8	9
$(k_x, k_y)$	(0, 0)	(1, 0)	(2, 0)	(3, 0)	(4, 0)	(0, 1)	(1, 1)	(2, 1)	(3, 1)	(4, 1)
$\Delta_{ik}$	(3, 2)	(2, 2)	(1, 2)	(0, 2)	(1, 2)	(3, 1)	(2, 1)	(1, 1)	(0, 1)	(1, 1)
$l(i, k)$ в массиве $W_{\Delta_{ik}}$	<b>13</b>	<b>12</b>	<b>11</b>	<b>10</b>	<b>11</b>	<b>8</b>	<b>7</b>	<b>6</b>	<b>5</b>	<b>6</b>
$k$	10	11	12	13	14	15	16	17	18	19
$(k_x, k_y)$	(0, 2)	(1, 2)	(2, 2)	(3, 2)	(4, 2)	(0, 3)	(1, 3)	(2, 3)	(3, 3)	(4, 3)
$\Delta_{ik}$	(3, 0)	(2, 0)	(1, 0)	(0, 0)	(1, 0)	(3, 1)	(2, 1)	(1, 1)	(0, 1)	(1, 1)
$l(i, k)$ в массиве $W_{\Delta_{ik}}$	<b>3</b>	<b>2</b>	<b>1</b>	<b>0</b>	<b>1</b>	<b>8</b>	<b>7</b>	<b>6</b>	<b>5</b>	<b>6</b>

Решением проблемы с непоследовательным доступом к памяти является расширение  $W_{\Delta_{ij}}$  путем зеркального отображения по оси  $X$  и  $Y$  (рис. 4).



**Рис. 4.** Пример расширенного массива элементов  $W_{\Delta_{ij}}$  в оперативной памяти, синим цветом выделены индексы  $l$  в линейном массиве. Зеленым выделена часть, необходимая для умножения строки матрицы, соответствующая узлу  $i = 13$  с координатами  $i_x = 3$ ,  $i_y = 2$ . Красным пунктиром обозначен исходный (до расширения) массив  $W_{\Delta_{ij}}$ . Элемент массива  $W_{\Delta_{ij}}$  с красным треугольником – центр симметрии, т.е. элементы расширенного массива  $W_{\Delta_{ij}}$  с индексами 30 и 32 совпадают, аналогично 51 и 11, 49 и 13, и т.д.

Ускорение достигается за счет использования векторных инструкций из расширения AVX2 [11] для архитектуры x86 и NEON [12] для архитектуры ARM. AVX2 позволяет обрабатывать блоки матрицы  $8 \times 8$  для одинарной точности (FP32), и  $4 \times 4$  для двойной точности (FP64). Реализация с использованием NEON оперирует с блоками матрицы  $4 \times 4$  независимо от точности.

Итоговое ускорение относительно классического метода составило от 2 раз на матрицах размерности 500, до 3.5 раз на матрицах размерности 40 000. В дальнейшем во всех численных результатах используется «безматричное» умножение  $F$ .

## 5. Численные результаты

Для тестирования в качестве линейного решателя будем использовать предобусловленный метод BiCGStab [14, 15]. BiCGStab является одним из универсальных и наиболее часто используемым методом для решения разреженных несимметричных матриц.

Тестовый пример: решение задачи фильтрации флюида в деформируемой поровой среде. Всего решаемых матриц 5432, размерность матриц от 53 до 10 567, количество ненулевых элементов в матрице для предобуславливателя  $\tilde{A}$  вида (5) максимум 501 011.

В качестве тестового стенда использован ноутбук Apple MacBook Pro с процессором Apple M4 Pro, архитектура ARM, 10 быстрых ядер 4.5 ГГц, пропускная способность оперативной памяти 273 ГБайт/секунду.

Будем рассматривать следующие варианты предобуславливателей:

- OBILU0 – блочный алгоритм неполного LU разложения с перекрытием. Матрица  $A$  делится на диагональные блоки по количеству параллельных потоков вычисления, блоки перекрываются (рис. 1б). Размер перекрытия выбирается так, чтобы элементы вне перекрытия не влияли на внутреннюю часть блоков;
- OBILUT – блочный алгоритм неполного LU разложения с перекрытиями (рис. 1б) и разложением в модификации ILUT [3], величина параметра  $\tau = 1e^{-5}$  – при разложении матрица  $\tilde{A}$  отбрасываются все элементы  $\tilde{A}_{ij}$  такие, что  $|\tilde{A}_{ij}| < \tau \|\tilde{A}_i\|_2$ , где  $\tilde{A}_i$  –  $i$  строка матрицы  $\tilde{A}$ ;
- BILU0+AIPS2 – блочный алгоритм неполного LU разложения без перекрытия (рис. 1а). Для улучшения сходимости используем AIPS2 первого порядка  $N = 1$  (9).

Результаты тестовых расчетов приведены в таблице 2. Как видно для системы (1) более выгоден подход BILU0+AIPS2, ускорение относительно стандартно используемых методов OBILU0 и OBILUT составляет 2.78 и 3.25 раза соответственно. Вместе с тем для подхода BILU0+AIPS2 ускорение на этапе построения предобуславливателя (Setup) составляет 6.41 на 8 вычислительных потоках, несколько хуже чем 7.65 раза для OBILU0. Данный результат удивителен, так как BILU0+AIPS2 не использует перекрытие блоков и должен ускоряться лучше OBILU0, этот факт требует дополнительных исследований. Видно, что для BILU0+AIPS2 фаза построения предобуславливателя занимает минимальное время, потому что AIPS2 не требует затрат на построение, а BILU0 проще строить, чем OBILU0, так как нет перекрытия блоков.

## 6. Выводы

Проведено исследование эффективности применения различных типов предобуславливателей для решения систем линейных алгебраических уравнений, возникающих в процессе решения задач фильтрации флюидов в пористой среде с учетом изменения напряженно-деформированного состояния породы. Показано, что совместное использование блочных предобуславливателей типа неполного LU разложения совместно с разложением обратной матрицы в степенной ряд позволяет ускорить поиск решения системы линейных уравнений до 2.8 раз по сравнению со стандартными, универсальными методами предобуславливания.

Дополнительно приведены подходы к использованию и оптимизации «безматричного» умножения плотной матрицы на вектор. Показано, что при наличии дополнительных знаний о построении плотной матрицы возможно значительно сократить до 50 раз требования к объему оперативной памяти, а при использовании векторных инструкций и локализации данных в КЭШ процессора – увеличить скорость операции умножения матрицы на вектор до 3.5 раза.

**Таблица 2.** Результаты численных расчетов. Всего матриц 5 432, размерность матриц от 53 до 10 567. **Type** – тип предобуславливателя, **NT** – количество вычислительных потоков, **Iters** – общее число итераций линейного решателя BiCGStab на решение всех матриц, **Setup** – время построения предобуславливателя в секундах, **Solve** – время решения систем в секундах, **Total** – общее время в секундах (**Setup** + **Solve**), **Speedup setup** – ускорение построения предобуславливателя, **Speedup solve** – ускорение решения систем

Type	NT	Iters	Setup (c.)	Solve (c.)	Total (c.)	Speedup setup	Speedup solve
OBILU0	1	227435	99.49	238.34	337.83	1.00	1.00
OBILU0	2	249323	49.69	145.58	195.27	2.00	1.64
OBILU0	4	258346	25.27	97.06	122.33	3.94	2.46
OBILU0	8	273876	13.01	75.91	88.92	7.65	3.14
OBILUT	1	93766	248.31	186.93	435.23	1.00	1.00
OBILUT	2	128316	120.62	117.39	238.01	2.06	1.59
OBILUT	4	160392	59.31	81.76	141.07	4.19	2.29
OBILUT	8	168459	39.39	64.42	103.81	6.30	2.90
BILU0+AIPS2	1	43004	52.06	98.77	<b>150.83</b>	1.00	1.00
BILU0+AIPS2	2	44324	26.36	56.18	<b>82.54</b>	1.97	1.76
BILU0+AIPS2	4	44891	13.90	34.58	<b>48.48</b>	3.75	2.86
BILU0+AIPS2	8	45206	8.12	23.82	<b>31.94</b>	6.41	4.15

## Литература

1. Saad Y. Iterative Methods for Sparse Linear Systems, Second Edition. SIAM, Philadelphia, USA, 2003. 567 p. DOI: 10.1137/1.9780898718003.
2. Meijerink J.A., van der Vorst H.A. An iterative solution method for linear systems of which the coefficient matrix is a symmetric M-matrix // Math. Comp. 1977. Vol. 31. P. 148–162. DOI: 10.2307/2005786.
3. Saad Y. ILUT: A Dual Threshold Incomplete LU Factorization // Numerical Linear Algebra with Applications. 1994. Vol. 1, no. 4. P. 387–402. DOI: 10.1002/nla.1680010405.
4. Smith B., Bjorstad P., Gropp W. Domain Decomposition: Parallel Multilevel Methods for Elliptic Partial Differential Equations. Cambridge University Press, 2004. 237 p.
5. de Sturler E. Incomplete block LU preconditioners on slightly overlapping subdomains for a massively parallel computer // Applied Numerical Mathematics. 1995. Vol. 19, no. 1-2. P. 129–146. DOI: 10.1016/0168-9274(95)00077-8.
6. Chen K. Matrix Preconditioning Techniques and Applications. Cambridge Univ. Press, Cambridge, 2005. 564 p. DOI: 10.1017/CBO9780511543258.
7. Юлдашев А.В., Репин Н.В., Спеле В.В. Параллельный предобуславливатель на основе степенного разложения обратной матрицы для решения разреженных линейных систем на графических процессорах // Вычислительные методы и программирование. 2019. Т. 20, № 4. С. 444–456. DOI: 10.26089/NumMet.v20r439.
8. Kronbichler M., Kormann K. A generic interface for parallel cell-based finite element operator application // Computers Fluids. 2012. Vol. 63. P. 135–147. DOI: 10.1016/j.compfluid.2012.04.012.



9. Arndt D., Bangerth W., Davydov D. et al. The deal.II Library, Version 9.3 // *Journal of Numerical Mathematics*. 2021. Vol. 29, no. 3. DOI: 10.1515/jnma-2021-0081.
10. Xie B., Zhan J., Liu X. et al. CVR: Efficient Vectorization of SpMV on X86 Processors // *Proceedings of 2018 IEEE/ACM International Symposium on Code Generation and Optimization (CGO'18)*. ACM, New York, NY, USA, 2018. DOI: 10.1145/3168818.
11. Intel Advanced Vector Extensions 10.2, Architecture Specification. 2025.  
URL: <https://cdrdv2.intel.com/v1/dl/getContent/828965> (дата обращения: 18.02.2025).
12. NEON Programmer's Guide. Version: 1.0. 2013.  
URL: <https://developer.arm.com/documentation/den0018/a/?lang=en> (дата обращения: 23.02.2025).
13. SVE Programming Examples. 2024.  
URL: <https://developer.arm.com/documentation/dai0548/latest/> (дата обращения: 23.02.2025).
14. Barrett R., Berry M., Chan T.F. et al. Templates for the Solution of Linear Systems: Building Blocks for Iterative Methods // *Mathematics of Computation*. 1996. Vol. 64, no. 211. DOI: 10.2307/2153507.
15. van der Vorst H.A. Bi-CGSTAB: A Fast and Smoothly Converging Variant of Bi-CG for the Solution of Nonsymmetric Linear Systems // *SIAM Journal on Scientific and Statistical Computing*. 1992. Vol. 13, no. 2. DOI: 10.1137/0913035.